

## Request For Quotation

Order the parts you need from our real-time inventory database. Simply complete a request for quotation form with your part information and a sales representative will respond to you with price and availability.

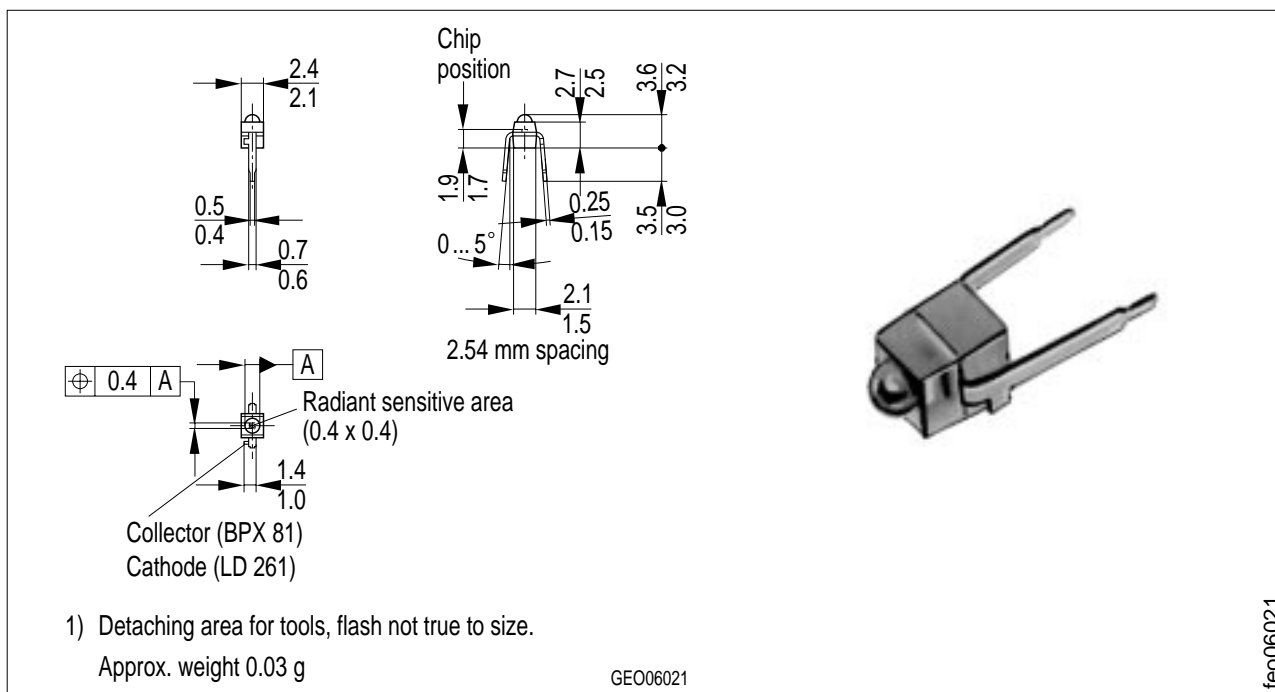
[Request For Quotation](#)

**Your free datasheet starts on the next page.**

More datasheets and data books are available from our homepage: <http://www.datasheetarchive.com>

## GaAs-IR-Lumineszenzdiode GaAs Infrared Emitter

LD 261



Maße in mm, wenn nicht anders angegeben/Dimensions in mm, unless otherwise specified.

### Wesentliche Merkmale

- GaAs-IR-Lumineszenzdiode, hergestellt im Schmelzeptaxieverfahren
- Hohe Zuverlässigkeit
- Gruppiert lieferbar
- Gehäusegleich mit BPX 81

### Anwendungen

- Miniaturlichtschranken für Gleich- und Wechsellichtbetrieb
- Lochstreifenleser
- Industrieelektronik
- "Messen/Steuern/Regeln"

### Features

- GaAs infrared emitting diode, fabricated in a liquid phase epitaxy process
- High reliability
- Available in bins
- Same package as BPX 81

### Applications

- Miniature photointerrupters
- Punched tape readers
- Industrial electronics
- For control and drive circuits

Typ Type	Bestellnummer Ordering Code	Gehäuse Package
LD 261	Q62703-Q395	Leiterbandgehäuse, klares Epoxy-Gießharz, linsenförmig im 2.54-mm-Raster ( $\frac{1}{10}$ "), Kathodenkennzeichnung: Nase am Lötspiel
LD 261-5	Q62703-Q67	Lead frame, transparent epoxy resin lens, solder tabs lead spacing 2.54 mm ( $\frac{1}{10}$ "), cathode marking: projection at solder lead

**Grenzwerte ( $T_A = 25^\circ\text{C}$ )****Maximum Ratings**

<b>Bezeichnung</b> <b>Description</b>	<b>Symbol</b> <b>Symbol</b>	<b>Wert</b> <b>Value</b>	<b>Einheit</b> <b>Unit</b>
Betriebs- und Lagertemperatur Operating and storage temperature range	$T_{op}; T_{stg}$	-40 ... +80	°C
Sperrschichttemperatur Junction temperature	$T_j$	80	°C
Sperrspannung Reverse voltage	$V_R$	5	V
Durchlaßstrom Forward current	$I_F$	50	mA
Stoßstrom, $\tau \leq 10 \mu\text{s}$ , $D = 0$ Surge current	$I_{FSM}$	1.6	A
Verlustleistung Power dissipation	$P_{tot}$	70	mW
Wärmewiderstand Thermal resistance	$R_{thJA}$ $R_{thJL}$	750 650	K/W K/W

**Kennwerte ( $T_A = 25^\circ\text{C}$ )****Characteristics**

<b>Bezeichnung</b> <b>Description</b>	<b>Symbol</b> <b>Symbol</b>	<b>Wert</b> <b>Value</b>	<b>Einheit</b> <b>Unit</b>
Wellenlänge der Strahlung Wavelength at peak emission $I_F = 50 \text{ mA}, t_p = 20 \text{ ms}$	$\lambda_{peak}$	950	nm
Spektrale Bandbreite bei 50 % von $I_{max}$ Spectral bandwidth at 50 % of $I_{max}$ $I_F = 50 \text{ m A}, t_p = 20 \text{ ms}$	$\Delta\lambda$	55	nm
Abstrahlwinkel Half angle	$\phi$	± 15	Grad deg.
Aktive Chipfläche Active chip area	$A$	0.25	mm <sup>2</sup>
Abmessungen der aktiven Chipfläche Dimension of the active chip area	$L \times B$ $L \times W$	0.5 × 0.5	mm
Abstand Chipoberfläche bis Linsenscheitel Distance chip surface to lens top	$H$	1.3 ... 1.9	mm

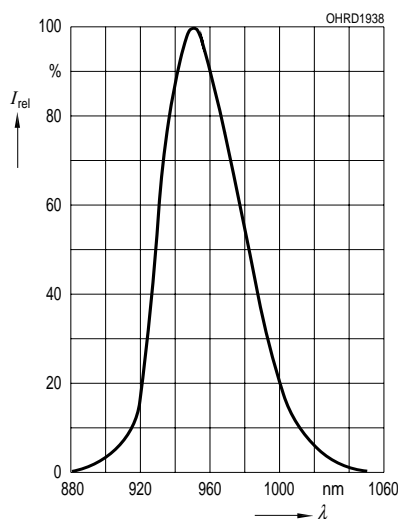
**Kennwerte ( $T_A = 25^\circ\text{C}$ )****Characteristics**

<b>Bezeichnung</b> <b>Description</b>	<b>Symbol</b> <b>Symbol</b>	<b>Wert</b> <b>Value</b>	<b>Einheit</b> <b>Unit</b>
Schaltzeiten, $I_e$ von 10 % auf 90 % und von 90 % auf 10 %, bei $I_F = 50 \text{ mA}$ , $R_L = 50 \Omega$ Switching times, $I_e$ from 10 % to 90 % and from 90 % to 10 %, $I_F = 50 \text{ mA}$ , $R_L = 50 \Omega$	$t_r, t_f$	1	$\mu\text{s}$
Kapazität, $V_R = 0 \text{ V}$ Capacitance	$C_o$	40	pF
Durchlaßspannung Forward voltage $I_F = 50 \text{ mA}$ , $t_p = 20 \mu\text{s}$	$V_F$	1.25 ( $\leq 1.4$ )	V
Sperrstrom, $V_R = 5 \text{ V}$ Reverse current	$I_R$	0.01 ( $\leq 1$ )	$\mu\text{A}$
Gesamtstrahlungsfluß Total radiant flux $I_F = 50 \text{ mA}$ , $t_p = 20 \text{ ms}$	$\Phi_e$	9	mW
Temperaturkoeffizient von $I_e$ bzw. $\Phi_e$ , $I_F = 50 \text{ mA}$ Temperature coefficient of $I_e$ or $\Phi_e$ , $I_F = 50 \text{ mA}$	$TC_I$	-0.55	%/K
Temperaturkoeffizient von $V_F$ , $I_F = 50 \text{ mA}$ Temperature coefficient of $V_F$ , $I_F = 50 \text{ mA}$	$TC_V$	-1.5	mV/K
Temperaturkoeffizient von $\lambda_{\text{peak}}$ , $I_F = 50 \text{ mA}$ Temperature coefficient of $\lambda_{\text{peak}}$ , $I_F = 50 \text{ mA}$	$TC_\lambda$	0.3	nm/K

**Gruppierung der Strahlstärke  $I_e$  in Achsrichtung**gemessen bei einem Raumwinkel  $\Omega = 0.01 \text{ sr}$ **Grouping of radiant intensity  $I_e$  in axial direction**at a solid angle of  $\Omega = 0.01 \text{ sr}$ 

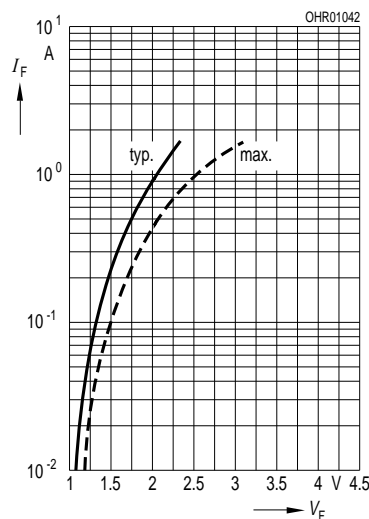
<b>Bezeichnung</b> <b>Description</b>	<b>Symbol</b>	<b>Werte</b> <b>Values</b>		<b>Einheit</b> <b>Unit</b>
		<b>LD 261</b>	<b>LD 261-5</b>	
Strahlstärke Radiant intensity $I_F = 50 \text{ mA}$ , $t_p = 20 \text{ ms}$	$I_e$	2 ... 6.3	3.2 ... 6.3	mW/sr

**Relative spectral emission**  
 $I_{\text{rel}} = f(\lambda)$

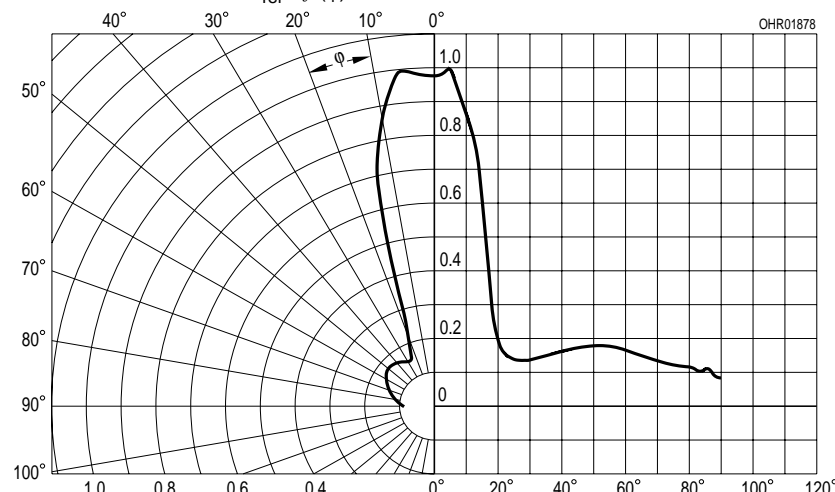


**Forward current**

$I_F = f(V_F)$ , single pulse,  $t_p = 20 \mu\text{s}$

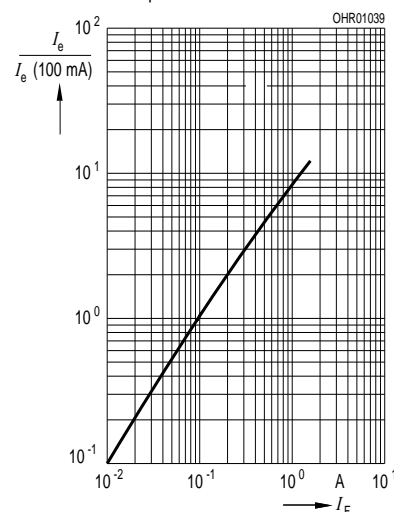


**Radiation characteristics**  $I_{\text{rel}} = f(\phi)$



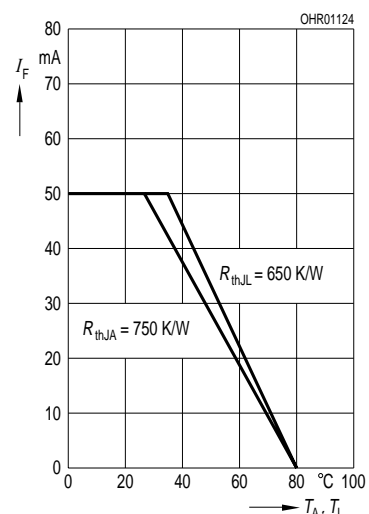
**Radiant intensity**  $\frac{I_e}{I_e 100 \text{ mA}} = f(I_F)$

Single pulse,  $t_p = 20 \mu\text{s}$



**Max. permissible forward current**  
 $I_F = f(T_A)$

Single pulse,  $t_p = 20 \mu\text{s}$



**Permissible pulse handling capability**

$I_F = f(\tau)$ ,  $T_C = 25^\circ\text{C}$ ,  
duty cycle  $D = \text{parameter}$

